

## همسانه‌سازی و بررسی فیلوژنیکی توالی‌های دو ژن متعلق به زیر خانواده کریپتوکروم

### *Volvox carteri* جلبک DASH

سعید مهدوی<sup>۱</sup>، جعفر رازقی<sup>۱\*</sup>، مقصود پژوهنده<sup>۲</sup>، آرش کیانیان مومنی<sup>۳</sup>، علی موافقی<sup>۱</sup>، مرتضی کوثری نسب<sup>۴</sup>

<sup>۱</sup> ایران، تبریز، دانشگاه تبریز، دانشکده علوم طبیعی، گروه زیست‌شناسی گیاهی

<sup>۲</sup> ایران، کیلومتر ۳۵ جاده تبریز- آذربایجان، دانشگاه شهید مدنی آذربایجان، دانشکده کشاورزی، گروه بیوتکنولوژی

<sup>۳</sup> آلمان، بیله فلد، دانشگاه علوم پزشکی تبریز، مرکز تحقیقات علوم دارویی

<sup>۴</sup> ایران، تبریز، دانشگاه علوم پزشکی تبریز، مرکز تحقیقات علوم دارویی

تاریخ پذیرش: ۹۶/۰۱/۰۹ | تاریخ دریافت: ۹۷/۰۴/۰۹

#### چکیده

در اکثر موجودات، گیرنده‌های نوری پیام رسانی به منظور درک و تفسیر علائم محیطی به وجود آمده‌اند. این مولکول‌ها قادرند، نور را توسط کروموفورهای خود جذب کرده، مسیرهای پیام رسانی خاصی را در سلول‌ها به راه اندخته و سبب بروز پاسخ مناسب در سلول شوند. شاخه جدیدی از علم به نام اپتوژنیک تلاش می‌کند تا از گیرنده‌های نوری به عنوان ابزارهای مولکولی جهت کنترل دقیق و قایع سلولی استفاده کند. یکی از راههای توسعه اپتوژنیک، شناسایی ابزارهای مولکولی جدید دارای خصوصیات ویژه می‌باشد. بدین منظور تبیین خصوصیات ژن‌های پیش‌گویی شده‌ای که ارتولوگ گیرنده‌های نوری شناسایی شده می‌باشند، بسیار مفید خواهد بود. در پژوهه تعیین توالی ژنوم *Volvox carteri* دو ژن پیش‌گویی شده متعلق به خانواده Cryptochrome/Photolyase شناسایی شد. هدف از این مطالعه، جداسازی توالی‌های کدکننده‌ی این دو ژن، همسانه‌سازی دو ژن مذکور در داخل وکتور بیانی و تعیین موقعیت قالب خواندن باز آن‌ها در خانواده کریپتوکروم/فتولیاز می‌باشد. بدین منظور، جلبک *V.carteri* تحت شرایط بهینه رشد داده شد. سپس با استفاده از تکنیک RT-PCR توالی‌های کدکننده‌ی این دو ژن تکثیر شد. با استفاده از تکنیک مهندسی زنتیک قطعات تکثیر شده وارد وکتور بیانی pGEX2TK گردید. به منظور همسانه‌سازی وکتور نوترکیب، پلاسمیدها وارد باکتری *Escherichia coli* گردیدند و سپس تعیین توالی شدند. نتیجه پژوهش نشان داد که توالی‌های ثبت شده در پایگاه داده‌ای NCBI به عنوان توالی mRNA برای دو ژن کریپتوکروم DASH، با توالی آن‌ها در ولوکس تقاضه هایی را نشان می‌دهد.

**واژه‌های کلیدی:** همسانه‌سازی، وکتور بیانی، گیرنده‌های نوری، اپتوژنیک

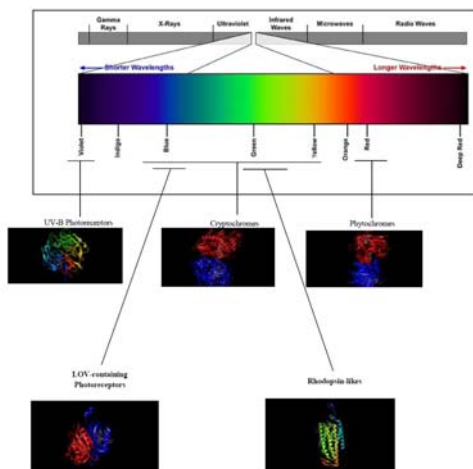
\* نویسنده مسئول، تلفن: ۰۰۹۱۴۰۳۳۴۵۰ و ۰۰۴۱-۳۳۳۹۲۷۰۶، پست الکترونیکی: Jafar\_razeghi@tabrizu.ac.ir

#### مقدمه

یافته‌اند، انجام می‌شود. اولین بخش از این سیستم‌ها، سنسورهای پروتئینی گیرنده‌ی نور می‌باشد. این مولکول‌ها قادرند، نور را توسط کروموفورهای خود جذب کنند و مسیرهای سیگنالینگ خاصی را برای اندازند که باعث بروز پاسخ مناسب در سلول‌ها می‌شود. گیرنده‌های نوری را می-

موجودات فتوسترنکننده از نور، انرژی و اطلاعات موجود در محیط پیرامون خود را کسب می‌کنند. در این موجودات سیستم‌های نوری فتوسترن برای کسب انرژی تکامل پیدا کرده‌اند. درک اطلاعات محیط با استفاده از نور توسط سیستم‌های پیام‌رسانی ویژه‌ای که در این موجودات تکامل

تکامل یافته‌اند که محدوده نور نزدیک به UV (~350 nm) آبی و تا قرمز/قرمز دور (~750 nm) را جذب می‌کنند (شکل ۱) (۶,۷).



شکل ۱- طیف نور جذب شونده توسط برخی از گیرنده‌های نوری و ساختار شماتیک نمونه‌ای از هر گروه گیرنده نوری (پایین). تصاویر پروتئین‌ها از سایت PDBe گرفته شده‌است. عدد دسترسی نمونه پروتئینی فیتوکروم: 4OUR؛ کریپتوکروم: 4DNU؛ UV-B: 2J4D؛ 4Z6C: 2ZUG9؛ و LOV: 3UG9 است (۷).

از آنجاییکه زنجیره‌ی پلی‌پپتیدی سازنده‌ی پروتئین‌ها و زنجیره‌های جانبی آمینواسیدها، توان جذب محدوده نور مرئی را ندارند، بنچار در گیرنده‌های نوری، اجزای غیرپروتئینی تحت عنوان کروموفور تعییه شده‌اند. کروموفور به صورت کووالانسی و یا غیرکووالانسی به بخش آپوپروتئینی گیرنده نوری متصل می‌شود (۱۱). طی چند سال گذشته، تعدادی از گیرنده‌های نوری جلبکی شناسایی و بطور مختصر توصیف شده‌اند. برخی از این گیرنده‌های نوری، نسبت به گیرنده‌های نوری کلاسیک، ویژگی‌های جدیدی را نشان می‌دهند، بطوریکه درک ما را از مکانیسم‌های مولکولی سیستم‌های حسگر نور و فرآیندهای سلولی تنظیم شده توسط نور، بهبود می‌بخشند. با افزایش اطلاعات دربارهٔ نحوه عملکرد گیرنده‌های نوری و مسیرهای سیگنالینگ مرتبط با آنها، محققان توانسته‌اند، از این Photo-sensitive modules مربوط به

توان از جنبه‌های مختلفی مانند نوع عملکرد، طیف جاذبی، نوع کروموفور، محل استقرار درون سلولی، ساختار دمین آپوپروتئینی، ساختار سوم و چهارم و سیگنال خروجی آن‌ها طبقه‌بندی نمود. برخلاف تنوع عملکردی و ساختاری فراوان، گیرنده‌های نوری اغلب از دو بخش اصلی تشکیل شده‌اند که شامل بخش درکننده نور و بخش انتقال‌دهنده سیگنال می‌باشد. در بین موجودات، ریزجلبک‌های متحرك، سیستم‌های حسگر خود را بمنظور ردیابی مستمر نور، بطور ماهرانه‌ای توسعه داده‌اند و از این طریق قادرند اطلاعات مورد نیاز را از محیط پیرامون کسب کرده و فعالیت‌های فیزیولوژیکی خود را، با تغییرات محیطی هماهنگ کنند (۶,۷,۸,۹). کیانیان مومنی (۲۰۱۴)، گیرنده‌های نوری جلبکی را بدین طریق دسته بندی نمود:

### 1. LOV-containing algal photoreceptors

#### 1.1 Phototropins

#### 1.2 Aureochromes

#### 1.3 Neochromes

### 2. Cryptochromes

#### 2.1 Plant-like Cryptochromes

#### 2.2 Animal-like Cryptochromes

#### 2.3 DASH- Cryptochromes

### 3. Phytochromes

### 4. Rhodopsin-like photoreceptors

#### 4.1 Channelrhodopsins

#### 4.2 Histidine kinase rhodopsins

بعجزء رودوپسین‌ها که گیرنده‌ای نوری غشاء‌گذر هستند، بقیه گیرنده‌های نوری بدلیل شفاف بودن غشاها سلولی در برابر نور، سیتوپلاسمی و محلول در آب می‌باشند. برخلاف این موارد، کمپلکس‌های جمع‌کننده نور و مراکز واکنش فتوستتری بدلیل آنکه باید انرژی نور را به صورت شبیه از انرژی الکتروشیمیایی در دو سمت غشاء تبدیل کنند، کمپلکس‌های درون غشاوی می‌باشند. ویژگی‌های جاذبی گیرنده‌های نوری، با طیف نوری رسیده به زمین، همبستگی دارد، بطوریکه این گیرنده‌های نوری بنحوی

تولید آن‌ها در سیستم‌های تولید پروتئین است (۱، ۲). در پژوهش حاضر توالی کدکننده‌ی این دو ژن درون وکتوریانی pGEX2TK کلون شد و توالی دقیق نوکلئوتیدی آن‌ها مشخص گردید.

### مواد و روشها

**تهیه جلبک، کشت و نمونه برداری:** جلبک *Volvox carteri* f. *nagariensis* strains Eve10 (female) در آرش کیانیان اهدا گردید. جلبک در محیط کشت SVM (۱۳) در دمای ۲۸ درجه سانتیگراد و تحت چرخه نوری ۸ ساعت تاریکی و ۱۶ ساعت روشنایی مربوط به نور سفید حاصل از لامپ LED با شدت نور تقریبی به طور میانگین ۱۷۰۰ لوکس رشد داده شد. پس از رسیدن کشت‌ها به بیوماس مناسب، نمونه برداری به منظور استخراج RNA انجام شد.

**استخراج RNA:** با استفاده از TRI Reagent (Sigma-Aldrich, St. Louis, MO) مطابق دستورالعمل شرکت سازنده، استخراج RNA انجام شد. بترتیب، کمیت و کیفیت RNA استخراج شده توسط بیوفوتومتر (Eppendorf, Germany)، تعیین نسبت جذب 260/280 و الکتروفورز برپایه ژل آگارز مشخص شد. در نهایت RNA در ۷۰-۷۰ درجه سانتیگراد نگهداری شد.

**ستز cDNA:** ابتدا ۱ میکروگرم RNA استخراج شده با استفاده از کیت DNaseI (Thermo Scientific, USA) تحت واکنش هضم DNA ژنومی قرار گرفت. سپس RNA پاکسازی شده، توسط کیت RevertAid First Strand (Thermo Scientific, USA) cDNA Synthesis استفاده از آغازگر dT Oligo و براساس پروتکل شرکت سازنده، برای ستز cDNA مورد استفاده قرار گرفت.

**طراحی آغازگرها:** بدین منظور ابتدا توالی نوکلئوتیدی مربوط به دو ژن VcCryDASH1 و VcCryDASH2 با استفاده از سرور تحت وب BLASTp با به کاربردن توالی

گیاهان و جلبک‌ها، ابزارهای مولکولی جهت کنترل دقیق واقعی سلولی ایجاد نمایند. به این زمینه جدید که تحقیقات پایه‌ای مربوط به مسیرهای سیگنالینگ کنترل شونده توسط نور را به تحقیقات کاربردی ارتباط می‌دهد، اپتوژنتیک گفته می‌شود. گیرندهای نوری و اجزای موجود در مسیر سیگنالینگ نور، عنوان ابزارهای بالقوه این زمینه علمی، مطرح می‌باشند. بدین ترتیب با افزایش تعداد گیرندهای نوری شناخته شده و تعیین ویژگی‌های آن‌ها، محدودیت‌های پیش روی این زمینه علمی نوظهور بیش از پیش برداشته می‌شود (۱۰). در بین گروه‌های گیرنده نوری فوق، شاخه کریپتوکروم‌های DASH از لحاظ مکانیسم عمل و اثرات فیزیولوژیک، کمتر شناخته شده‌اند. همچنین از آنجایی که این پروتئین‌ها از نظر ساختاری حد老子 DNA فتوالیازها و کریپتوکروم‌ها هستند، تعیین خصوصیات آن‌ها در موجودات مختلف می‌تواند راه‌گشای مسیر تکامل در درون خانواده‌ی Cryptochrome/Photolyase به عنوان مدل در بیوتکنولوژی صنعتی و تحقیقات پایه‌ای و همچنین ظهور تکنیک‌های تعیین توالی ژنوم با توان عملیاتی بالا، ژنوم مربوط به تعدادی از جلبک‌ها، مانند *Volvox carteri* و *Chlamydomonase reinhardtii* تعیین توالی شده‌اند. Prochnik و همکاران (۲۰۱۰) ژنوم ۱۳۸ مگابازی *Volvox carteri* را تعیین توالی و پروتئین‌های کدشونده توسط این ژنوم را پیش‌گویی کردند که در پایگاه داده‌ای NCBI قرار داده شده است (۱۲). مطالعه آن‌ها نشان داد که در این جلبک دو ژن DASH-کریپتوکروم متعلق به خانواده‌ی Cryptochrome/Photolyase کد می‌شود. با توصیف پروتئین‌های این دو جایگاه، شاید تا حدودی ابهام‌های مربوط به چگونگی عملکرد این گروه از پروتئین‌ها، نقش آن‌ها در جلبک فوق و توانایی بالقوه ای آن‌ها به عنوان ابزارهای اپتوژنتیک مشخص شود. به منظور استحصال مقدار مناسب پروتئین برای پژوهش‌های ساختاری و عملکردی آینده نیاز به تهیه سازه بیانی بمنظور

بمنظور تکثیر قطعه کدکننده VcCryDASH1 (طول ۱۶۶۳ جفت باز) و محصول پیش بینی شده برابر ۲۲۳۳ VcCryDASH2 (طول محصل پیش بینی شده برابر ۱ استفاده شد. واکنش جفت باز) از آغازگرهای جدول ۱ استفاده شد. واکنش PCR با استفاده از آنزیم Pfu-DNA polymerase (Vivantis) مطابق دستورالعمل شرکت سازنده آنزیم انعام شد. سپس الکتروفورز روی ژل آگارز انجام گردید و قطعات دارای اندازه‌ی مورد نظر توسط کیت استورالعمل شرکت سازنده، از ژل استخراج شدند.

جدول ۱- توالی آغازگرهای استفاده شده برای تکثیر قالب باز خواندن دو ژن VcCryDASH2 و VcCryDASH1

نام ژن	توالی آغازگر
VcCryDASH1	AAGGATCCATGGCCGCCGGCTG (آغازگر رفت) AAGAATTCTACGCATAACCACCCGAGC (آغازگر برگشت)
VcCryDASH2	AAAGATCTATGGCGATGCCTGGTACGG (آغازگر رفت) AAGAATTCTTACGTCTGCGCTTGGCCT (آغازگر برگشت)

استفاده از (Thermo Scientific) T4-DNA ligase مطابق دستورالعمل شرکت سازنده انجام شد.

کشت باکتری *E.coli* Top10 (Invitrogen) سویه (Invitrogen) و انتقال ژن به آن: محیط کشت LB مایع دارای آنتی‌بیوتیک استرپتومایسین (۱۰۰ میکروگرم بر میلی لیتر) برای کشت باکتری مورد استفاده قرار گرفت. باکتری‌ها توسط محلول TSS مستعدسازی شدند. سپس ۵ مایکرولیتر از محصل و اکنش اتصال، برای تاریختن باکتری با بکارگیری روش شوک حرارتی TSS، استفاده شد (۴). بمنظور انتخاب باکتری‌های تاریختشده دارای نوترکیب، از محیط کشت LB جامد حاوی آنتی‌بیوتیک آمپیسیلین (۵۰ میکروگرم بر میلی لیتر) و انجام PCR-Colony استفاده شد. استخراج پلاسمید از باکتری‌های دارای قطعه‌ی کدکننده ژن‌ها، انجام هضم آنزیمی روی پلاسمیدهای نوترکیب و تعیین توالی: باکتری‌های دارای پلاسمید

پروتئینی AtCry3 (با شماره دسترسی Q84KJ5 در Uniprot) و SynDASH (با شماره دسترسی P77967 در Uniprot) بعنوان مينا و جستجو در پروتومیکس ثبت شده از Volvox carteri در پایگاه داده‌ای NCBI شناسایی شدند. سپس با بررسی EST مربوط به این توالی‌ها، توالی دقیق کدکننده این ژن‌ها بازیابی شد. آغازگرها طوری طراحی شدند که دارای جایگاه برشی مربوط به آنزیمهای برشی Bgl II و Eco RI Bam HI باشند.

انجام PCR برای تکثیر قطعه‌ی کدکننده دو ژن VcCryDASH2 و VcCryDASH1

جدول ۱- توالی آغازگرهای استفاده شده برای تکثیر قالب باز خواندن دو ژن VcCryDASH2 و VcCryDASH1

انجام واکنش تجزیه آنزیمی روی قطعات تکثیر شده و پلاسمید pGEX2TK: واکنش تجزیه آنزیمی با استفاده از آنزیمهای Bgl II و Eco RI (Thermo) استورالعمل شرکت سازنده برروی قطعات کدکننده ژن‌های VcCryDASH2 و VcCryDASH1 و همچنین GE Healthcare Life ( pGEX2TK ) Sciences انجام شد. برروی محصلات واکنش برشی الکتروفورز در ژل آگارز انجام و قطعات مربوط به توالی‌های کد کننده و پلاسمید برش خورده، توسط کیت PureLinkTM Quick از ژل استخراج شد.

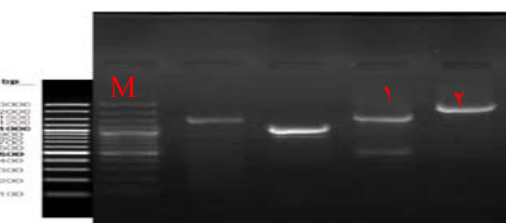
ایجاد سازه نوترکیب با استفاده از CDS‌های تکثیر شدهی VcCryDASH2 و VcCryDASH1 مربوط به دو ژن pGEX2TK-VcCryDASH1 و pGEX2TK-VcCryDASH2 پلاسمیدهای نوترکیب وارد کردن قطعات pGEX2TK-VcCryDASH2 حاصل از برش به درون وکتور pGEX2TK برش یافته با

## نتایج و بحث

با توجه به بررسی‌های *in silico* انجام شده، برای CDS ژن‌های VcCryDASH2 و VcCryDASH1 بترتیب دو توالی (توالی 3078bp ثبت شده در NCBI با شماره دسترسی XM\_002953647 و توالی 1710bp حاصل از بررسی EST) و یک توالی نوکلئوتیدی (توالی 2217bp XM\_002955358) ثبت شده در NCBI با شماره دسترسی VcCryDASH1 در وجود دارد. دو توالی مربوط به ژن ۱ در بخش بزرگی در ناحیه ۵' یکسان هستند و تفاوت در توالی نوکلئوتیدی<sup>۳</sup> است (نتایج حاصل از این بررسی نشان داده نشده است). بدین ترتیب برای ژن فوق یک آغازگر رفت و دو آغازگر برگشت طراحی شد. توسط آنزیم پلی‌مراز دارای قابلیت تصحیح کنندگی، PCR انجام شد. برای ژن ۱ VcCryDASH2 و VcCryDASH1 اتصال ۵۸ °C استفاده شد. شکل ۲ تصویر ژل الکتروفورز محصولات PCR برای تکثیر قطعات کدکننده ی دو ژن فوق می‌باشد. همانطور که مشخص است در مورد ژن VcCryDASH1 طول قطعه‌ی ایجاد شده با طول قطعه‌ی حاصل از بررسی EST همخوانی بیشتری دارد.

نوترکیب در LB مایع دارای آنتی‌بیوتیک انتخابگر، کشت داده شدند. استخراج پلاسمید با استفاده از کیت استخراج AccuPrep® Plasmid Mini Extraction Kit (BIONEER, Korea) مطابق دستورالعمل شرکت سازنده انجام شد. بمنظور تایید بیشتر بر روند مهندسی‌سازه، پلاسمیدهای استخراج شده تحت واکنش هضم آنزیمی قرار گرفتند. پس از تایید حضور قطعات در وکتور، نمونه‌ها برای تعیین توالی به شرکت توپاژن (ایران) ارسال شد.

بازیابی توالی‌های پروتئینی مربوط به خانواده ژنی Cryptochrome/DNA photolyase تکاملی: با استفاده از سرور BLASTp (۳) توالی‌های دو ژن VcCryDASH2 و VcCryDASH1 در مقابل پایگاه‌های داده‌ای Uniprot (www.uniprot.org) و PDB (www.resb.org) مورد جستجو قرار گرفت. توالی‌های پروتئینی توصیف شده مربوط به خانواده Cryptochrome/DNA photolyase بازیابی شدند و توسط نرم‌افزار تحلیل Clustal Omega (۱۵) هم‌دیفسازی توالی‌ها انجام شد. هم‌دیفسازی با استفاده از نرم‌افزار BioEdit V7.0.9 (۵) بهینه شد. در نهایت با استفاده از نرم‌افزار MEGA5 (۱۶) توسط Neighbor-Joining و Maximum likelihood روش‌های (۱۴) درخت فیلوجنیک ترسیم شد.

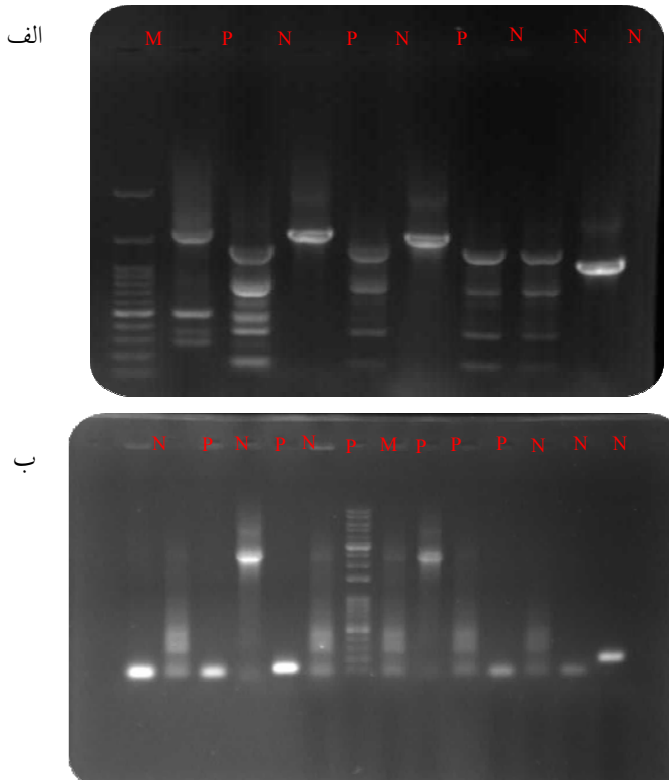


شکل ۲- الکتروفورز ژل آگارز قطعات تکثیر شده با PCR. ستون ۱: حاوی باند مربوط به VcCryd1؛ ستون ۲: حاوی باند مربوط به VcCryd2.

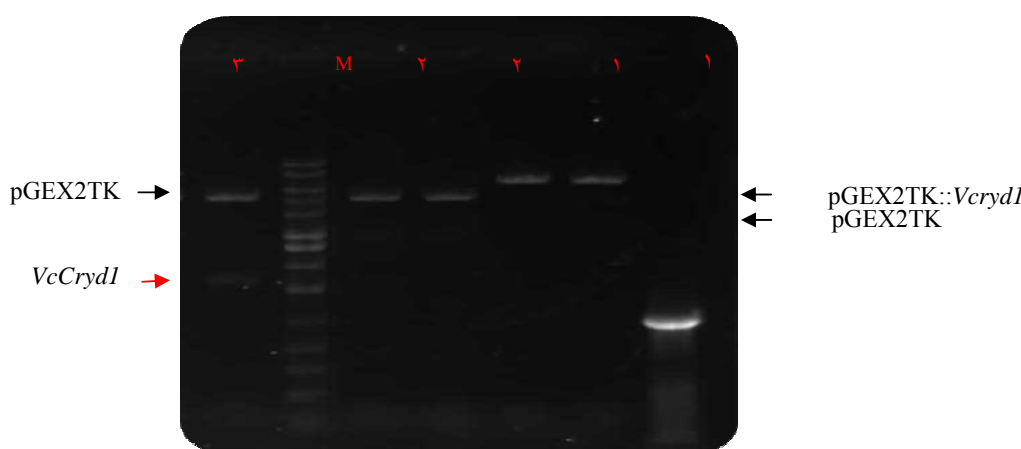
حرارتی TSS انجام شد. همسانه‌های مشاهده شده در سطح محیط انتخابی توسط روش کلنی PCR (شکل ۳)، استخراج پلاسمید و همچنین هضم آنزیمی پلاسمید استخراج شده مورد بررسی قرار گرفتند (شکل ۴ و ۵). سپس تعیین توالی قطعات مذکور انجام شد. انجام BLASTn و BLAST

پس از تکثیر قطعات کدکننده و تخلیص از ژل، واکنش هضم آنزیمی بر روی آنها و همچنین وکتور بیانی pGEX2TK انجام شد. پس از تخلیص قطعات و وکتور برش‌یافته از ژل، واکنش اتصال اجرا گردید. ترازیختی باکتری *E.coli* سویه‌ی Top10 با استفاده از روش شوک

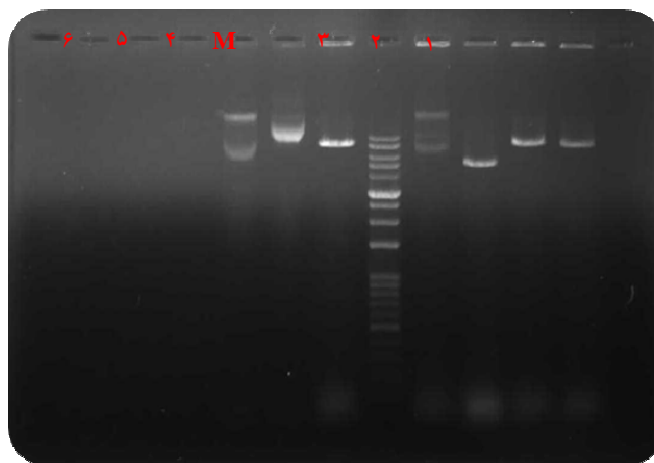
نتایج حاصل از تعیین توالی با استفاده از نرم‌افزارهای تحت وب به توالی آمینواسیدی متناظر با آن تبدیل شدن (شکل ۶ و ۷). (BLASTp) نشان داد که این دو توالی نوکلئوتیدی متعلق به جلبک *Volvox carteri* هستند (جدول ۲).



شکل ۳- ژل الکتروفورز محصولات واکنش کلني PCR برای ژن *VcCryDASH1* (الف) و *VcCryDASH2* (ب). M: مارکر P: مشخص کننده همسانه های مثبت؛ N: مشخص کننده همسانه های منفی.



شکل ۴- ژل الکتروفورز استخراج پلاسمید نوترکیب pGEX2TK::*VcrydI* و برش آنزیمی آن. ستون ۱: پلاسمید نوترکیب pGEX2TK::*VcrydI* که توسط یک آنزیم برشی هضم شده است؛ ستون ۲: پلاسمید pGEX2TK که توسط یک آنزیم برشی هضم شده است؛ ستون ۳: پلاسمید نوترکیب pGEX2TK::*VcrydI* که توسط دو آنزیم برشی هضم شده و قطعه‌ی وارد شده از آن خارج شده است؛ M: مارکر.



شکل ۵- ژل الکتروفورز استخراج پلاسمید نوترکیب *pGEX2TK::VcCryd2* و برش آنزیمی آن. ستون‌های ۱، ۲ و ۴: برش *pGEX*:*VcCryd2* با استفاده از آنزیم *EcoRI*. ستون ۳: برش *pGEX2TK* با استفاده از آنزیم *EcoRI* به ترتیب مربوط به استخراج پلاسمید از کلون *pGEX2TK* و *pGEX::VcCryd2* های حاوی.

Sequence: VcCryDASH1.dna (Linear / 1611 bp)  
Features: 1 visible, 1 total

ATGGCCGCCCGGGCTGCGGCAAGCGTGTCTGACTGTGGTTCAAGGAACGACCTCCGCCTGCACGA	65
CAATTACATCGTCATGATGCAGTCAGCGTGTAAAGCGTGTGAAGGCCAGCGAGGTACTGCCGG	130
TG TACT GTT C GACCC AC GT GT AC CG CA CT ACC CG TGG GT C AT T C AAG AC GCG GCG C AC	195
C GGG C AGG C CT C CT G CT GA AT GT GT G AC GG AT CT CA AG T C C CG T C G C G AT GT AGG C AGT GA	260
CTTGCTGTGGCATTTGGGAAGGCCGAGGGAGGTGCTGCCGGTCTTCTGGAGGGCAGCTCTGGTC	325
CCTCCCCTGGTCCACTCGCGAGGAAGTCACCTCGGAGGAGACCCGGAGCGGATGTGGCGGTGGCC	390
C GGG C C T G A A A C A C A C A C G G A G A C G C A A G C G G A T G C T G C A G C T G C G C G G G G G T G G A A G C G G	455
TAGTGCAGAGCTGTGCGGTTCTGGGCCATACCATGTACCATATTGACGACCTGACTCAGCCAC	520
CAGAGGGCGGCAGCAAGGCTACCTTGCACCGGGCATGAAGGACATGCCGATGTGTCACTCCC	585
TTCCGTGAAAAGGTGGAAAAGCGCTGCCCGTATGGAAAGACCTGCCCGCCCGCAGAAGGGCGA	650
CCTGCCGCTGCCCGGACGGAAGCACTCCCGCCGCCGGCAGCGGCCCTGGCGCCGCCGC	715
CCACGTGGGAGCAACTGCGTACCCGCCAGCGCGAGGGCTCCGCCGCCAACAGCATCTAA	780
GCGGTGCTGGACTTCAGGGCGAGACGGCGCTCTGGCCGCCCTCGCGCTACTACTGTGGGA	845
CAGCGACCTGATGCCCTCACTTCGACACTCGCAACCGCATGTTGGGGAGACTACTCCACCA	910
AGTTGCCCTCTGGCTCGCGCGGGATGTATCAGCCCCGGAAAGATCTACCACGAGATCCGCAAG	975
TACGAGGCCACCGGCAATCCAACAAGTCACATACTGGTCATATTGAGCTCATTTGGCGGGA	1040
TTACTTCAGGTTCTCGCGCTCAAGCACGCCAACCGCATCTTCTTGAGACGGAACTTCGGTC	1105
TCCCTTGGTTGGAAATCGGATCGAGATCTGTCGATCGGTGGCGGGCTACGGGCTCATGTC	1170
CCCCTGGTAGACGCCAACATCGCGAGCTGGCGGCTACGGGCTCATGTCATGTCGCGCTCA	1235
AAACTTGGCGCTGACTTGGTCTGGATCTGGATCAGTGGCGCCGGCGCCGATTACTTG	1300
AGAGCCAGCTGGGACTACGACGTGACTTCAACTGGGTAACTGGGTGGCGGCTGGCGCTG	1365
GCGGGGGGCAGGATCAACCACTTCACATTGCAAAGCAGTCCAGGACTATGACCCCCAGGGCGA	1430
CTACGTCCGCACCTGGTCCGGAGCTGCGCCATGTGCGGTGGCAAGGTGCATGAGCCCTGGC	1495
TCATGAGCAAGGAGGAGCAGGAGAAGGCGGGGTGCAGGATCGGTGTGGACTACCCGAACCCATT	1560
CCCGTGTCCAGACACGGTCGCCACACGCCAGCTGGGTGGGTATCGCTAG	1611

## VcCryDASH1.prot (536 aa)

```

MAAAGCGKRVVLWFRNDLRLHDNYIVHDAVQRVKRGEASEVLPVYCFDPFRVYGTTPWGHFKTGAHRAAFL
LECVTDLKSRLRDVGSDLLVAFGKPEEVLPGLLEGGSSGPSLVLTAEEEVSEETRTDVAVARALKQQRQP
ADAAAAAGGGGSAKLLRFLWGHTMYHIDDLTQPPEGGKATFAPGMKDMPDVFTPFRKVEKRCPVWKDL
PPPQKGDLPLPTEALPAAAAAALAAAPPTWEQLPYPPAARPPPTKHPKAVALDFKGGETAALARLYYL
WDSDLIASYFDTRNGMLGGDYSTKFAPWLAAACGCRKPIYHEIRKYEAQRQSNKSTYWVIFELIWRDYFR
FFALKHGNRIFETGTSGLPLVWNPDADLWHRWRDGRGTGLPLVDANRELAATGFMSNRGRQNLAISYLV
DLGIDWRRGADYFESQLLDYDVTNSWGNWVAAGLAGGRINHFNIAKQSKDYPDQGDYVRTWCPELRHVP
VGKVEHPLMSKEEQEKGCRIGVDYPNPIPVSRRHGRPHASSGGYA

```

شکل ۶- توالی نوکلئوتیدی استنباط شده از تعیین توالی *VcCryDASH1* و توالی آمینواسیدی متناظر با آنها.

Sequence: VcCryDASH2.dna (Linear / 2362 bp)  
 Features: 3 visible, 3 total

ATGGCGATGCCCTGGTACGGTGGCAAGGTTCTGTAGAGGGCTGGTGAAGTACGGCAGAGGT	65
ATGGCAGATCCAGGAGGCTGCTGCCGCCCCACGTGTTTGCCCTGGCGCACGTAGCCCACCCAC	130
CATCACCCCATCACCGCCATCATCACCATATTCTCATTTTCAAGCACACCGTTCCCCAC	195
GACGCTGGATTGTTACACACAAGCTCTGCATCTGAAGGGTCCGACGCCGACGAGTAGCAGTAGC	260
AGTAGCAGTAGCAGGGAGGCGGTTGGTAATGGTGGTAATGGTGGTATGGTGGTGGGGT	325
GAGCCGCAACGGCCACGGCAGCAGCAGCAGCAGCAGCAGCAGCAGCAGCAGCAGCAGCAGCAG	390
CCTGTCAGATAAGCAGCTGACATCAGCAGCTGCAGCAGCACGCCGGCGCAGTAGCAGCGG	455
CGGCAATGGCGCAGTGGCGGGTGTGCTGGTGGGGTGTGCTGATTGGTGGTTGGCGGGCGAGG	520
AGGTGCTTCCGGCTTCTGACGCTGGCAGGAAACACACCCGGTGGCAGCTGGTGGGGT	585
CACCAACACCTGGACGTGCTGGAGGAGGAGTGGAGGGTGGAGGGAGGTGGCAGGGGGCAGTGG	650
GAAGTGGGCGCCGCAAGGGGTGTGAGTGTGTTCCGTACACACTATTGGGGCGCACGCTCTACC	715
AACCCGACGATCTGCCGTACCATCTGTATGATAGAGCAGCTAACGGCTCGTCGAGGGTGGATCG	780
GGCATGGCCGGTGGCGTCTCCCTCGGGCCCCGAGCCCCCGCACAGCCCCACGCCCTCTGCC	845
CCTCAACCGCACAAGAACCGCTTCCGGAACCTCCCGCGGGTTATGACGGACTTCCGCAAGGCCA	910
CGCAGGGCGCTGCCCTCGTACGACCTAGCCTGCCGCCACCGCCCTGCCGCCCTGCCGCC	975
CCATTCAACGAGGGCGGCCAGCCTGGAAATGACTGCTCAGACTGTAGGGCACAGGCAGCAGCA	1040
GCAGCACATGCGACAGCTGGAGGGCGCAGCGGGAGGAGACTGGGCTTGGCGAGCATTCGC	1105
GGACGATTAGGGAGGTGTACGATGCGACAGCAGGGCGAGAGCAGCTACGGCCTTCAAGGAGCTG	1170
GTCGGGTTGGACTACAGCCAGCTACTGCCGCAGTAGAGCCCCGGCCACCGGGCACACGACCC	1235
GCGTACGGCATTTCCCTCACGCCGGTACAGCAGCGCGTACGCCGCGTGCCTGGTACTACGTT	1300
GGGGCCACCCGGAAAGGGCTCCCCCGAGCTGCCAACGCAACGGGACGGCGCCGGATCCAGC	1365
TCCCAGCCGATGGGCCCCCGTGAAGCTCTCACCCCTCGTTGCTGTATTCACCAAACCCGGGC	1430
GCAGGCGGTTGGTGTGAGCAGCAGCACTAAGTGTGCGCCCTCGTGGCGCTGGCTGCATCACGT	1495
CGCGCCAATACATGAGGGAGGTGGAGCAGGATCAGAGCAGCTGCTACTGCCGTGCTACTGCT	1560
GCATGCAGAGCCACACTGCAACAGCAGACTGCAACAGCAGGAGCAGGAGCAGGAAATAGCCCCTGC	1625
AGCGGGGGGGTGGGGCAGCGTGGGGCCGGCTACTGCCAACCCGGGGGGCTCCCCCTCCCC	1690
CCGGCGGCAGTAGCTCAGCACGCTCAAGGGGGTGTGCGCTACTGGACGAACGGGGCATTAT	1755
CGGGACTTCTCATCTCACGACGCTCAAGGGGGTGTGCGCTACTGGACGAACGGGGCAGCG	1820
GGGTCTCCCGTCACTGGCGAACGACATGGAGACATTCACTCGTGGGCCAGGGGGCACGG	1885
GTCTCCCCCTCGTGGACGCCAACATGCCGGAGCTGGCGTCACCGCTGGATGAGCAACGGGGC	1950
CGACAGAACGCTGGCTAGCTTGCTGACCAAGGACCTGGGGTAGACTGGAGATGGGGTGCAGCT	2015
GTTTGAGAGCTTGGTGTGGATTGCGATGTGGCGTTAACTTGCACACTGGAATTACTTGCTG	2080
GTATCGGGAAACGACCCACGCAATGCCATTCAAGACCGTGTACTGGGCATGAAGTACGACGAG	2145
GATGCCGCGCTGCCGCTACATGGCTGCCGAGCTGGCGCTACCGCCCCGCTCCCCGCCACCA	2210
GCCCTGGGCATGACGGCGAGGAAGCTGAGCAGTACAGCTTGTACTGGGCCGATTACCCCT	2275
TTCCCTTGGTCGACCCGGTAACCATGTCGCCAGCTGACGGGACGGGGAGCGCAGGAACAAG	2340
GCCAAGGCACAGACGTAAGAAT	2362

## VcCryDASH2.prot (785 aa)

```
MAMPGTVARFLLEGLVEVRREVWQIQQEAAAAPRVCPEGTVAHPPSSPSPPSPLPSSFSAPPFPHDAGLL
HTSSASEGSDAAAVAVAVAGGGGGNGGGNDGGGGAAAAATAAAAAAAVGAPNEPVVVDGADIS
SCSSSTGGGSDGGNGGSDDGGGGGVLIIRFGRPEEVLPGLLTAAEHNPQLRHSVLHHLDVLEAVEVER
EVAGALRKNGAARGVSVSVHTYWGRILYHPDDLPHYDRAAKASSQGGSGMAGGGLPRAPSPPHSPTP
LPLNADKNFRNLPRVMTDFRKATQAASVRPSPLPAPTALPPLPPFNEAARSLEMTAQTVGQRQQQHM
QTSEEGAAGGDWGLSIPRTIEEVYDAAGARRALQRLQELVGLDYSQQLPPVEPGLPAPHDPRTAFFPFA
GYSSAVRRLYYVWGHPEGAPPELSDPROGAGSSSQPHGAPVSSPPSLLYFTNTRAQAVGVDSSTKLSP
FVALGCITSRQIHEEEVQVRAAATAAACRATLADTAAGAGAGEIARAAAGGGQRGAGATANPGPA
SPPPGGSSSVPAPAECDWLAMHLCIRDFFIFTTLKEGDAVLDERGIMGLPVSWRNDMETFTRWAQGRGL
PFVVDANMRELAVTGWMNSNRGRQNVASSLTKDLGVWRWGAEFLFESLLVDCDVAVNYCNWNYFAGIGNDPR
NRHFKVTQGMKYDEDAAALAAATWLPEALAALPPAPRHQPWAMTAEEAEQYSFVLGRDYPFPLVDPANHVQ
LTGTGKRRNKAQAT
```

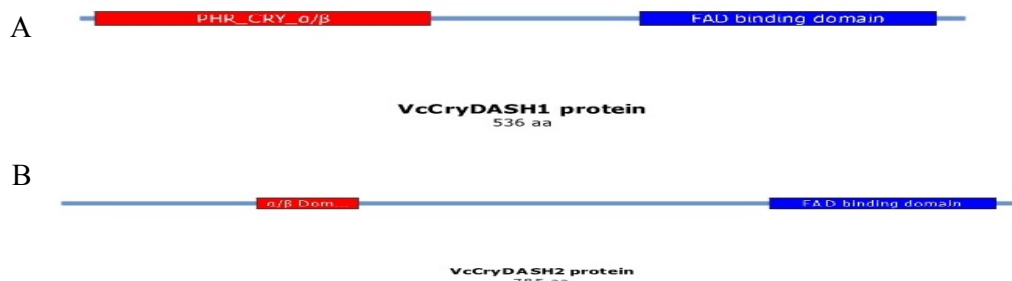
شکل ۷- توالی نوکلئوتیدی استنباط شده از تعیین توالی VcCryDASH2 و توالی آمینواسیدی متناظر با آنها.

جدول ۲- نتیجه حاصل از BLASTn برای VcCryDASH1 (بالا) و VcCryDASH2 (پایین).

Organism name	Max score	Total score	Query cover	E value	Ident	Accession
<i>Volvox carteri f. nagariensis</i>	2571	5256	99%	0.0	99%	<u>XM_002953647.1</u>
<i>Volvox carteri f. nagariensis</i>	876	1137	39%	0.0	98%	<u>XM_002959699.1</u>
<i>Chlamydomonas reinhardtii</i>	676	676	48%	0.0	82%	<u>XM_001701819.1</u>
Organism name	Max score	Total score	Query cover	E value	Ident	Accession
<i>Volvox carteri f. nagariensis</i>	2778	3853	88%	0.0	99%	<u>XM_002955358.1</u>

ProDom تعیین شدند، که تصویر شماتیک مربوط به آن‌ها در شکل ۸ آورده شده است.

از تعیین ساختمان اولیه‌ی این دو پروتئین، دمین‌های عملکردی این دو قالب باز خواندن با استفاده از سرورهای InterPro Scan .Motif Scan .CD-NCBI .Pfam



شکل ۸- دمین‌های پیش‌گویی شده در پروتئین‌های (A) VcCryDASH1 و (B) VcCryDASH2. (A) VcCryDASH1 protein 536 aa; (B) VcCryDASH2 protein 785 aa. FAD Binding Domain: دمین آبی رنگ؛ Domain: دمین‌آبی رنگ.

همانطور که انتظار می‌رفت، این دو پروتئین دارای دمین‌هایی هستند که در تمام اعضاء خانواده‌ی پروتئینی Cryptochrome/Photolyase وجود دارند. بدین ترتیب مشخص شد که این دو پروتئین در این خانواده قرار می‌گیرند. بمنظور تعیین موقعیت این دو پروتئین در این خانواده، با استفاده از توالی آمینواسیدی آن‌ها و توالی‌های آمینواسیدی مربوط به اعضاء خانواده Cryptochrome/Photolyase در موجودات مختلف، که از پایگاه‌های داده‌ای Uniprot و NCBI بدست آمده بودند، توسط نرم‌افزار ۵ Mega درخت فیلوژنتیک رسم شد (شکل ۹). همانطور که در درخت مذکور مشخص است این دو

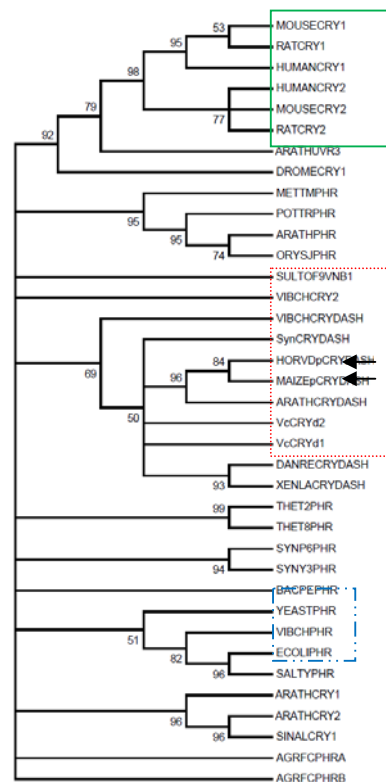
پروتئین در شاخه مربوط به کریپتوکروم‌های DASH قرار می‌گیرند و قالب باز خواندن آن‌ها هم همان‌طور که انتظار می‌رفت در گروه کریپتوکروم‌های DASH قرار می‌گیرند. با مقایسه توالی نوکلئوتیدی کدکننده‌ی بدست آمده از توالی‌یابی و توالی‌زنی موجود در NCBI، محل دقیق اگزون‌ها برای هر دو ژن VcCryDASH1 و VcCryDASH2 مشخص شد. مقایسه بین اگزون‌های VcCryDASH2 پیش‌گویی شده (ثبت شده در NCBI) و تعیین شده در این پژوهش نشان داد که در ژن VcCryDASH1 به جای ۲۰ اگزون (که در NCBI ثبت شده است)، فقط ۱۱ اگزون وجود دارد. اگزون‌های ۱ تا ۸ آن‌ها دارای موقعیت یکسان

ژن ثبت شده در NCBI نشان داد که اگزون ۱ تا ۷ کاملاً مشابه است و فقط در اگزون ۶ حاصل از توالی‌یابی، کدون GAA (مربوط به اسیدآمینه‌ی گلوتامات) در ۵ اگزون وارد نمی‌شود. تفاوت اصلی در این دو توالی بین اگزون‌های ۸ تا ۱۱ می‌باشد (شکل ۱۰). با توجه به بررسی‌های بیوانفورماتیکی انجام شده مشخص شد که اگزون‌های ۱ تا ۳ در توالی ژن مربوط به VcCryDASH1 منحصر بفرد بوده در حالی که اگزون‌های ۴ تا ۱۱ دارای دو نسخه‌ی تقریباً مشابه (در برخی از اگزون‌ها دو نسخه از اگزون کاملاً یکسان بوده اما در برخی دیگر از آن‌ها حذف شدگی یا اضافه شدگی و یا تغییر، مشاهده می‌شود) می‌باشد. به عنوان مثال اگزون شماره‌ی ۴ با اگزون شماره‌ی ۱۲ و یا اگزون ۵ با اگزون ۱۳ مشابه می‌باشد. با بررسی بیوانفورماتیکی بر روی اورتولوگ این ژن در کلامیدوموناس مشاهده شد که این ارگانیسم دارای یک ژن ۱۱ اگزونی می‌باشد (این بررسی‌ها در مقاله نشان‌داده نشده است). از آنجاییکه ولوكس و کلامیدوموناس دارای مسیر تکاملی یکسانی بوده‌اند و بنظر می‌رسد که کلامیدوموناس نیای ولوكس باشد، می‌توان این احتمال را مطرح کرد که وجود اگزون‌های ۱۲ تا ۱۹ ناشی از وقوع دوبرابر شدگی اگزونی در ولوكس می‌باشد. همچنین وقوع جهش‌های مختلف را می‌توان دلیل عدم تشابه کامل بین اگزون‌های مشابه در نظر گرفت. شاید وقوع این رخداد در مسیر تکامل آینده و قدرت بقاء ولوكس تاثیر گذار باشد، به گونه‌ای که در طول تکامل اگزون‌های حاصل از دوبرابر شدگی عملگر شده و باعث ایجاد پروتئین جدید با قابلیت اصلاح شده و یا حتی کاملاً متفاوت از پروتئین اولیه گردد.

### تشکر و قدردانی

این پژوهه با حمایت مالی مرکز مطالعات و همکاری‌های علمی بین المللی انجام شده است و از این طریق از مسؤولین مربوطه تشکر و قدردانی می‌شود.

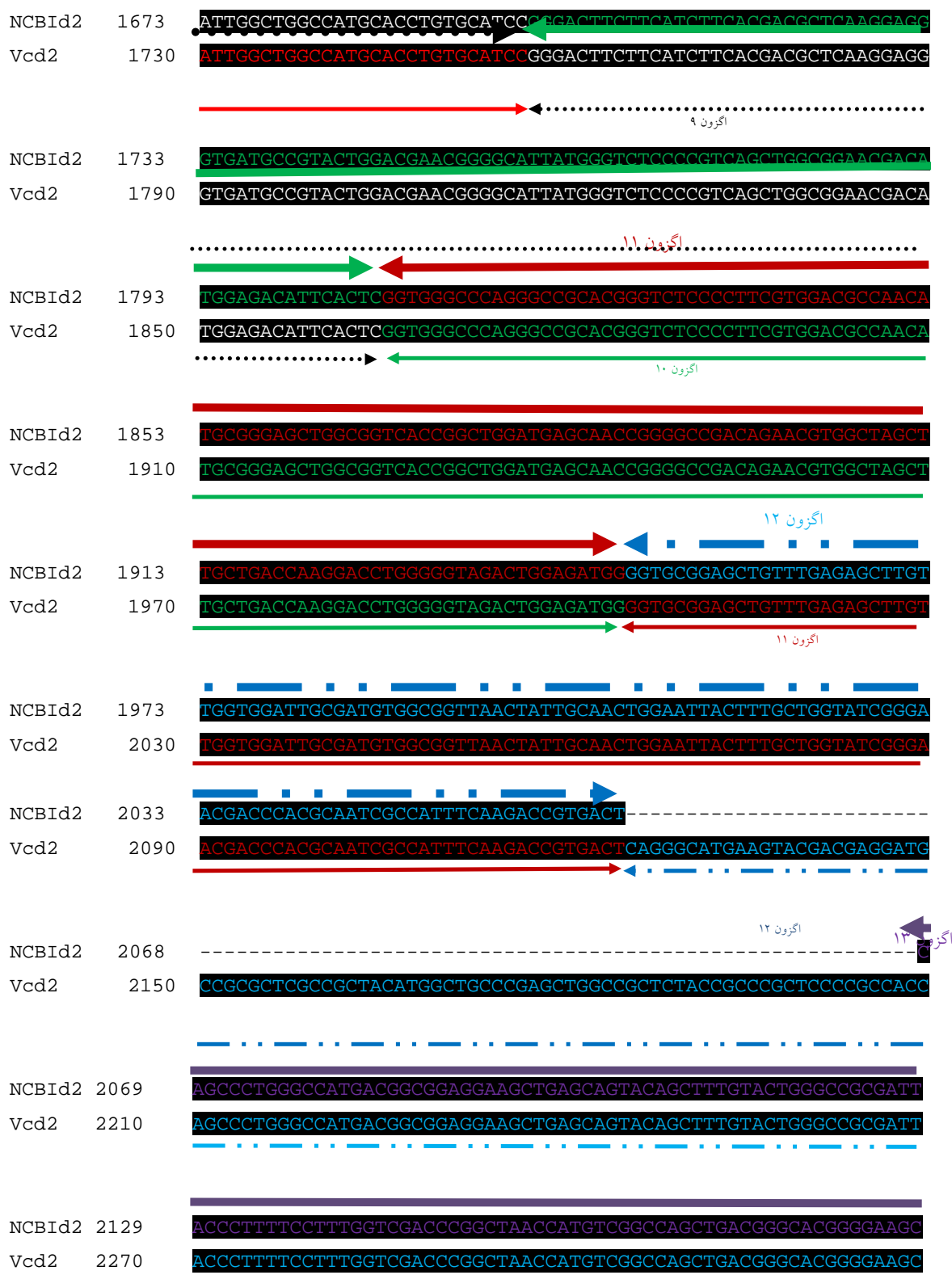
می‌باشدند اما موقعیت اگزون‌های ۹، ۱۰ و ۱۱ در آن‌ها تفاوت دارد.



شکل ۹- درخت تکاملی ترسیم شده توسط توالی‌های پروتئینی اعضاء خانواده‌ی Cryptochrome/Photolyase توسط روش Maximum likelihood. مربع سبز رنگ موقعیت کlad DASH like Cryptochromes و مربع آبی رنگ موقعیت کlad Plant-like Cryptochromes را نشان می‌دهند. پیکان‌ها محل دو ژن مورد مطالعه را نشان می‌دهند.

همچنین بقیه‌ی اگزون‌های موجود در ژن ثبت شده در NCBI تکرار مربوط به اگزون‌های ۴ تا ۱۱ آن می‌باشدند. اگزون شماره‌ی ۲۰ در ژن ثبت شده در NCBI منحصر بفرد VcCryDASH1 است و هیچ همتایی در توالی کدکننده‌ی چشم ندارد. توالی حاصل از توالی‌یابی انجام شده در این پژوهش ندارد. توالی ثبت شده در NCBI دارای ۱۳ اگزون می‌باشد در حالی که توالی حاصل از این پژوهش فقط ۱۲ اگزون دارد. مقایسه بین موقعیت اگزون‌ها VcCryDASH2 مربوط به توالی کدکننده‌ی حاصل از این پژوهش با توالی

NCB1d2	1141	CGAAGAGCGCTACAGCGCCTTCAGGAGCTGGTCGGTTGGACTACAGCCAGCTACTGCCG
Vcd2	1141	CGAAGAGCGCTACAGCGCCTTCAGGAGCTGGTCGGTTGGACTACAGCCAGCTACTGCCG
NCB1d2	1201	CCAGTAGAGCCCAGGGCCACCGGCCACACGACCCGCGTACGGCATTTCCTTCCAC
Vcd2	1201	CCAGTAGAGCCC---GGGCCACCGGCCACACGACCCGCGTACGGCATTTCCTTCCAC
NCB1d2	1261	GCCGGCTACAGCAGCGCCGTACGCCGCCTGCGGTACTACGTTGGGCCACCCGGAAGGG
Vcd2	1258	GCCGGCTACAGCAGCGCCGTACGCCGCCTGCGGTACTACGTTGGGCCACCCGGAAGGG
NCB1d2	1321	GCTCCCCCGGAGCTGCCAAGCGACCCACGGGACGGCGCCGGATCCAGCTCCAGCCGCAT
Vcd2	1318	GCTCCCCCGGAGCTGCCAAGCGACCCACGGGACGGCGCCGGATCCAGCTCCAGCCGCAT
NCB1d2	1381	GGGGCCCCCGTGAGCTCTCACCCCTCGTTGCTGTATTCACCAACACCCGGCGCAGGGC
Vcd2	1378	GGGGCCCCCGTGAGCTCTCACCCCTCGTTGCTGTATTCACCAACACCCGGCGCAGGGC
NCB1d2	1441	GTTGGTGTGGACAGCAGCACTAAGTTGTCGCCCTTCGTGGCGCTGGCTGCATCACGTCG
Vcd2	1438	GTTGGTGTGGACAGCAGCACTAAGTTGTCGCCCTTCGTGGCGCTGGCTGCATCACGTCG
NCB1d2	1501	CGCCAAATACATGAGGAGCTCTGACCCACACCA---CCGCTTC-CGGTCCTGTTTG
Vcd2	1498	CGCCAAATACATGAGGAGCTGGAGCAGCTACGAGCAGCTGCTACTGCGCTGCTGCT---
NCB1d2	1556	GAACCTTGTAAGCTCCCTTCGCCCTGGCGGGCTCAACCCTGCATGGTC-----
Vcd2	1555	--ACTGCTGCATCGAGAC---CACACTGGCACATACTGCAGGACCAACACAGGAGCAC
NCB1d2	1609	-----TGTATCCGCGCGCGGTG---CACGTGCAGGTGG-----
Vcd2	1610	GAGAAATAGCCCGTGCAGCGCGGGTGGTGGGAGCGTGGGGCGCGCTACTGCCAAC
NCB1d2	1639	-----AGCAGTAGCTCAGTACCGAGCCCCCGCCGAGTGTG
Vcd2	1670	CCGGCCGGCTCCCTCCCCCGCGCAGCAGTAGCTCAGTACCGAGCCCCCGCCGAGTGTG





شکل ۱۰- مقایسهٔ توالی کدکنندهٔ VcCryDASH2 ثبت شده در NCBI (NCBId2) و تعیین شده در این پژوهش (Vcd2). فلاش‌های نمایش داده شده در بالای هم‌دیفی مربوط به موقعیت اگزون در توالی NCBId2 و در پایین آن مربوط به توالی Vcd2 می‌باشد.

## منابع

- ۲- یزدان پناه سامانی، زمانی م، ر، مطلبی م، مقدسی جهرمی ز. ۱۳۹۴. بیان هترولوگ آنزیم کیتیناز ۳۶ کیلو دالتونی از قارچ *Trichoderma atroviride* در میزان پروکاربیوتی. مجله پژوهش‌های سلولی و مولکولی (مجله زیست‌شناسی ایران). ۲۸: ۴۴۷-۴۵۷.
- 3-Altschul SF, Gish W, Miller W, Myers EW, Lipman DJ. 1990. Basic local alignment search tool. *Journal of Molecular Biology*, 215:403-410.
- 4-Chung CT, Niemela SL, Miller R H. 1989. One-step preparation of competent *Escherichia coli*: Transformation and storage of bacterial cells in the same solution. *Proceedings of the National Academy of Sciences of the United States of America*, 86: 2172-2175.
- 5-Hall TA. 1999. BioEdit: a user-friendly biological sequence alignment editor and analysis program for Windows 95/98/NT. *Nucleic Acids Symposium Series*, 41: 95-98.
- 6-Hegemann P, Fuhrmann M, Kateriya S. 2001. Algal sensory photoreceptors. *Journal of Phycology*, 37: 668-676.
- 7-Heintzen C. 2012. Plant and fungal photopigments. *WIREs Membrane Transport and Signaling*, 1:411–432.
- 8-Kianianmomeni A, Hallmann A. 2014. Algal photoreceptors: in vivo functions and potential applications. *Planta*, 239:1-26.
- 9-Masuda S. 2013. Light detection and signal transduction in the BLUF photoreceptors. *Plant & Cell Physiology*, 54(2): 171-179.
- 10-Mathes T. 2016. Natural resources for optogenetic tools. In: Kianianmomeni A(Ed.) *Methods in Molecular Biology: Optogenetics Methods and Protocol*. Humana Press, 19-36.
- 11-Moglich A, Yang X, Ayers RA, Moffat K. 2010. Structure and function of plant photoreceptors. *Annual Review of Plant Biology*, 61:21-47.
- 12-Prochnik SE, Umen J, Nedelcu AM, Hallmann A, Miller SM, Nishii I, Ferris P, Kuo A, Mitros T, Fritz-Laylin LK, Hellsten U, Chapman J, Simakov O, Rensing SA, Terry A, Pangilinan J, Kapitonov V, Jurka J, Salamov A, Shapiro H, Schmutz J, Grimwood J, Lindquist E, Lucas S, Grigoriev IV, Schmitt R, Kirk D, Rokhsar DS. 2010. Genomic analysis of organismal complexity in the multicellular green alga *Volvox carteri*. *Science*, 329(5988):223-226.
- 13-Provasoli L, Pintner IJ. 1959. Artificial media for freshwater algae: problems and suggestions. In: Tyron CA, Hartman RT (Eds.) *The Ecology of Alga*. Pymatuning Laboratory of Field Biology, University of Pittsburgh, Pittsburgh, 84–96.
- 14-Saitou N, Nei M. 1987. The neighbor-joining method: a new method for reconstructing phylogenetic trees. *Molecular Biology and Evolution*, 4: 406-425.
- 15-Sievers F, Higgins DG. 2014. Clustal Omega, Accurate Alignment of Very Large Numbers of Sequences. In: Russell D. (eds) *Multiple Sequence Alignment Methods*. *Methods in Molecular Biology (Methods and Protocols)*, vol 1079. Humana Press, Totowa, NJ.(book)
- 16-Tamura K, Peterson D, Peterson N, Stecher G, Nei M, Kumar S. 2011. MEGA5: Molecular Evolutionary Genetics Analysis Using Maximum Likelihood, Evolutionary Distance, and Maximum Parsimony Methods. *Molecular Biology and Evolution*, 28(10):2731-2739.

## Cloning and phylogenetic study of two genes belonging to DASH Cryptochrome subfamily in *Volvox carteri*

Mahdavi S.,<sup>1</sup> Razeghi J.,<sup>1</sup> Pazhouhandeh M.,<sup>2</sup> Kianianmomeni A.,<sup>3</sup> Movafeghi A.<sup>1</sup> and  
Kosari-nasab M.<sup>4</sup>

<sup>1</sup>Dept. of Plant Science, Faculty of Natural Sciences, University of Tabriz, Tabriz, I.R. of Iran

<sup>2</sup>Dept. of Biotechnology, Faculty of Agriculture, Azarbijan Shahid Madani University, Km 35 Tabriz-  
Azarshahr Road, Tabriz, I.R. of Iran

<sup>3</sup>Dept. of Cellular and Developmental Biology of Plants, University of Bielefeld, Bielefeld, Germany

<sup>4</sup>Drug Applied Research Center, Tabriz University of Medical Sciences, Tabriz, I.R. of Iran

### Abstract

In the most organisms, signaling photoreceptors have been made to percept and interpret of environmental signals. They can absorb light through their chromophores, trigger different signaling pathways and result in appropriate responses in the cells. Optogenetics, a new field of science, try to use the photoreceptors as molecular instruments in order to exact control of the cellular events. Determination of the new molecular instruments with special characteristics is one of the ways to develop the optogenetics. For this goal, investigation on the predicted genes ortologous with determined photoreceptors is very useful. Two Cryptochrome/ Photolyase family genes were predicted based on the results of *Volvox carteri* (the model algae) genome sequencing. The goals of this investigation are as follow: the exact determination and isolation of coding sequences related with these two predicted genes, insertion into the expression vector (pGEX2TK) and determination of the subclude of their open reading frames in the Cryptochrome/Photolyase family. *Volvox carteri* has been grown up in optimum condition. Then this two coding sequences were amplified by using RT-PCR technique. These coding sequences were inserted in the pGEX2TK by genetic engineering techniques. Produced recombinant vectors were transferred to the *Escherichia coli* strain Top10 and sequenced after plasmid extraction. In current study, it was found that documented mRNA sequences for these two genes in NCBI are different with our mRNA sequences.

**Key words:** Cloning, Expression vector, Photoreceptors, Optogenetics